

論文96-33A-12-16

전류-제어 트랜스어드미턴스 증폭기와 그것을 이용한 FDNR의 설계

(A Current-Controlling Transadmittance Amplifier Application to FDNR)

朴志晩*, 鄭元燮*

(Ji-Mann Park and Won-Sup Chung)

요 약

전류-제어 트랜스어드미턴스 증폭기를 제안했다. 제안된 트랜스어드미턴스 증폭기는 선형 트랜스어드미터, 전류 이득 셀, 그리고 세 개의 전류 미러로 구성된다. 제안된 트랜스어드미턴스 증폭기를 이용하여 전류-제어 FDNR(frequency-dependent negative resistor)을 설계했다. 설계 이론의 타당성을 증명하기 위해, 브레드보드 실험 결과들을 제시했다. 제시된 결과들은 이론적인 예측과 실험적인 동작이 잘 일치한다는 것을 보여준다.

Abstract

A current-controlling transadmittance amplifier is proposed. It consists of a linear transadmittance and a current gain cell followed by three current mirrors. The proposed transadmittance amplifier is used to design a current-controlling frequency-dependent negative resistor(FDNR). Experimental results are presented to verify theoretical predictions. The results show close agreement between predicted behaviour and experimental performance.

1. 서 론

트랜스어드미턴스(transadmittance) 증폭기는 트랜스컨덕턴스(transconductance) 증폭기와 마찬가지로 그것의 입력은 전압이고 그것의 출력은 전류인 증폭기이다. 이들 두 증폭기 사이에는 다음과 같은 차이점이 있다. 즉, 후자의 입·출력 전달비는 주파수와 무관한 컨덕턴스인데 비해 전자의 입·출력 전달비는 주파수의 함수인 어드미턴스라는 차이점이 있다. 트랜스컨덕턴스 증폭기에 대해서는 다수의 논문들이 발표된 바 있으나^{[1], [2]}, 트랜스어드미턴스 증폭기에 대해서는 아직 보고된 논문이 없다. '트랜스어드미턴스'라는 개념과 용어 역시 본 논문에서 처음으로 사용되었다는 것을 참고로 언급해 둔다. 본 논문에서는, 전류-제어 트랜스어드미

턴스 증폭기를 제안하고, 그것의 유용성과 응용성을 검토하고자 한다. 본 논문에서 제안된 전류-제어 트랜스어드미턴스 증폭기는 다음과 같은 특징을 지니고 있다. 즉, 그것의 트랜스어드미턴스가 바이어스 전류로 제어될 수 있다는 특징을 지니고 있다. 이 증폭기는 또, 신호를 전압이 아닌 전류의 형태로 처리하는 전류-모드 회로이기 때문에 고주파 특성이 우수하다는 일반적인 특징도 지니고 있다^{[3], [4]}.

전류-제어 트랜스어드미턴스 증폭기의 응용성을 확인하기 위해, 이 증폭기를 이용해 전류-제어 미분기를 실현했고, 이 미분기를 다시 이용해 전류-제어 FDNR(frequency-dependent negative resistor)을 설계했다. FDNR은 사다리형(ladder type) 능동 여파기 구성에서 기본이 되는 빌딩 블록(building block) 회로이다^[5]. 전류-제어 FDNR의 성능을 확인하기 위해, 수동 RLC 2차 지역-통과 여파기 회로를 1/s 변환시키고 변환된 회로를 FDNR로 구성한 다음, 그 결과의 회로를 컴퓨터 시뮬레이션했다. 시뮬레이션 결과, 저주

* 正會員, 淸州大學校 半導體工學科

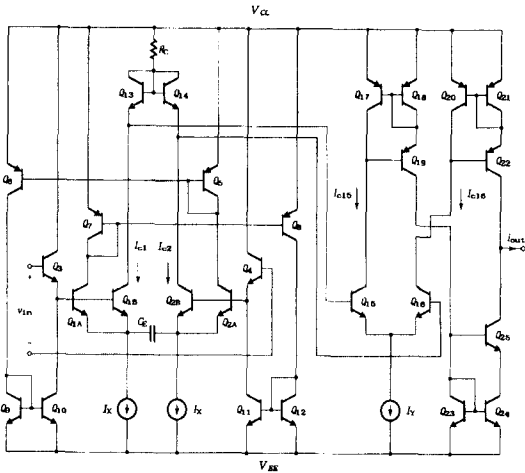
(Dept. of Semiconductor Eng., Chongju Univ.)

接受日: 1995年11月18日, 수정완료일: 1996年11月25日

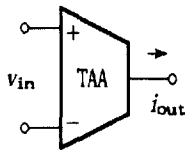
파로부터 약 100 kHz의 동작 주파수 범위에서는 전류-제어 FDNR 여파기가 수동 RLC 여파기와 거의 일치하는 전달 특성을 보인다는 것을 확인했다.

II. 전류-제어 트랜스어드미턴스 증폭기

본 연구에서 제안한 트랜스어드미턴스 증폭기의 회로도와 회로 기호를 그림 1(a)와 (b)에 각각 나타냈다.



(a)



$$Y_m = \frac{i_{out}(s)}{v_{in}(s)} = \frac{I_Y}{I_X} sC_E$$

(b)

그림 1. (a) 바이폴라 선형 트랜스어드미턴스 증폭기와 (b) 회로 기호

Fig. 1. (a) Bipolar linear transadmittance amplifier and (b) its circuit symbol.

이 회로는 트랜스컨덕턴스 증폭기에 기초를 두고 있다^[1]. 즉, 이 회로는 참고문헌 1의 회로에서 이미터 디제너레이션(degeneration) 저항을 커패시터로 대체한 것이다. 비록 하나의 소자만을 대체했지만, 회로의 기능은 다음에 설명될 바와 같이 전혀 다르다. 회로는 트랜지스터 Q1~Q12로 형성되는 선형 트랜스어드미터(transadmittor)와 Q13~Q16으로 형성되는 전류 이득 셀(cell), 그리고 Q17~Q25로 형성되는 차동-전류 단일

-전류 변환기로 구성된다. 선형 트랜스어드미터의 입력 회로에서 루프 방정식을 세우면,

$$v_{in} = V_T \ln \frac{I_{c2}}{I_S} + V_T \ln \frac{I_{c1}}{I_S} + \frac{(I_{c1} - I_{c2})}{sC} \quad (1)$$

$$V_T \ln \frac{I_{c2}}{I_S} - V_T \ln \frac{I_{c1}}{I_S}$$

을 얻는다. 여기서, VT는 트랜지스터의 열전압이고 IS는 포화 전류이다. 위식을 정리하면, Ic1 - Ic2 = sCvin을 얻는다. Ic1과 Ic2의 합이 IX이므로, Ic1과 Ic2는 다음과 같이 주어진다.

$$I_{c1} = \frac{I_X}{2} + \frac{sC_E}{2} v_{in} \quad (2a)$$

$$I_{c2} = \frac{I_X}{2} - \frac{sC_E}{2} v_{in} \quad (2b)$$

이 식들에서, CE는 이미터 디제너레이션 커패시턴스이고, IX는 트랜스어드미터를 바이어스시키기 위한 직류 전류이다. Ic1과 Ic2 전류는 이제 전류 이득 셀을 구동하며, 전류 이득 셀은 이들 입력 전류와 다음과 같은 비례 관계를 가지는 출력 전류 Ic15와 Ic16을 Q15와 Q16의 컬렉터 리드(lead)에 흘린다.

$$\frac{I_{c1}}{I_{c2}} = \frac{I_{c16}}{I_{c15}} \quad (3)$$

Ic15와 Ic16은 세 개의 전류 미러(mirror)로 구성되는 차동-전류 단일-전류 변환기에 의해 빼어져 출력 단자에 나타난다. 따라서 출력 전류 iout은,

$$i_{out} = I_{c16} - I_{c15} \quad (4)$$

이다. 한편, Ic16 + Ic15 = IY이므로, Ic15와 Ic16은 각각 다음과 같이 나타내어진다.

$$I_{c15} = \frac{I_Y}{2} + \frac{i_{out}}{2} \quad (5a)$$

$$I_{c16} = \frac{I_Y}{2} - \frac{i_{out}}{2} \quad (5b)$$

이 식에서 IY는 전류 이득 셀의 차동쌍 Q15와 Q16을 바이어스시키기 위한 직류 전류이다. (2a), (2b) 식과 (5a), (5b) 식을 (3) 식에 대입하면, 트랜스어드미턴스 증폭기의 최종의 입-출력 관계식을 다음과 같이 얻을 수 있다.

$$i_{out} = \frac{I_Y}{I_X} sC_E v_{in} \quad (6)$$

따라서, 이 트랜스어드미턴스 증폭기의 트랜스어드미턴스 Y_m 은 $(I_Y/I_X)sC_E$ 로 주어진다. 트랜스어드미턴스가 직류 바이어스 전류들의 비에 직접 비례하므로, 동일한 온도 특성을 갖는 정전류 전원들로 I_Y 와 I_X 를 공급하면 이들의 온도 계수가 상쇄되어 온도 안정한 트랜스어드미턴스를 얻을 수 있다는 점에 주목할 필요가 있다. 이 증폭기의 입력 선형 범위는 (2) 식으로부터 알 수 있다. 즉,

$$v_{in} < \left| \frac{I_X}{\omega C_E} \right|$$

III. 전류-제어 FDNR

트랜스어드미턴스 증폭기를 이용하여 설계한 FDNR의 회로도를 그림 2(a)에 나타냈다. 이 회로도에서, TAA₁으로 표시된 트랜스어드미턴스 증폭기는 저항 R_1 과 함께 반전 미분기를 형성하며, TAA₂로 표시된 트랜스어드미턴스 증폭기는 전압-전류 변환기 역할을 한다. FDNR 회로는 다음과 같이 동작한다: 입력 전압 v_i 가 반전 미분기에 의해 반전 미분되므로, 미분기의 출력 전압 v_c 는 다음과 같이 주어진다.

$$v_c = -Y_{m1} R_1 v_i \quad (7)$$

여기서 Y_{m1} 은 TAA₁의 트랜스어드미턴스이다. TAA₂는 v_c 전압을 받아서, 이를 전류로 변환시켜 출력시킨다. 따라서, TAA₂의 출력 전류 i_o 는

$$i_o = Y_{m2} v_c \quad (8)$$

이다. 여기서 Y_{m2} 는 TAA₂의 트랜스어드미턴스이다. i_o 의 방향이 입력 전류 i_i 의 방향과 반대이므로, $i_i = -i_o$ 이다. 따라서, 입력 전류 i_i 와 입력 전압 v_i 사이에는 다음의 관계식이 성립한다.

$$i_i = Y_{m1} Y_{m2} R_1 v_i \quad (9)$$

결국, 이 회로의 입력 어드미턴스는

$$Y_{in}(s) = \frac{i_i(s)}{v_i(s)} = Y_{m1} Y_{m2} R_1 \quad (10)$$

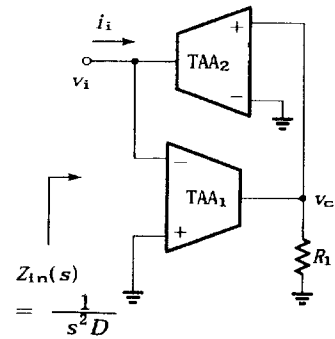
이다. 여기서, $Y_{m1} = Y_{m2} = Y_m$ 으로 가정하고, (6) 식의 Y_m 을 (10) 식에 대입하면,

$$Y_{in}(s) = \left(\frac{I_Y}{I_X} \right)^2 (sC_E)^2 R_1 \quad (11)$$

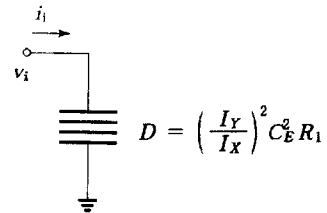
이 얻어진다. (11) 식을 임피던스로 표현하면,

$$Z_{in}(s) = \left(\frac{I_X}{I_Y} \right)^2 \frac{1}{(sC_E)^2 R_1} = \frac{1}{s^2 D} \quad (12)$$

로 쓸 수 있다. 여기서 $D = (I_Y/I_X)^2 C_E^2 R_1$ 이다. 그림 2(b)에 전류 제어 FDNR의 기호를 나타냈다. FDNR로 실현된 여파기와 발진기의 차단 주파수와 발진 주파수는 $1/\sqrt{D}$ 에 비례한다^[6]. 따라서, 본 논문에서 제안한 FDNR로 실현된 여파기나 발진기의 차단 주파수 또는 발진 주파수는 $(I_X/I_Y)(1/C_E\sqrt{R_1})$ 에 비례한다.



(a)



(b)

그림 2. (a) 트랜스어드미턴스 증폭기를 이용하여 실현한 FDNR과 (b) 회로 기호

Fig. 2. (a) FDNR realized using the transadmittance amplifier and (b) its circuit symbol.

IV. 실험 결과 및 고찰

그림 1(a)의 트랜스어드미턴스 증폭기 회로를 개별 소자들을 사용하여 브레드보드상에 구성했다. 트랜지스터는 npn 트랜지스터 어레이(array)인 LM3046과 pnp 트랜지스터 어레이인 MPQ2907을 사용했다. 저항 $R_C = 40 \text{ k}\Omega$, 커패시터 $C_E = 1 \text{ nF}$ 을 사용했다. 전체 회로의 공급 전압은 $V_{CC} = 10 \text{ V}$ 그리고 $V_{EE} = -10 \text{ V}$ 이었다. $I_X = 25 \text{ }\mu\text{A}$, $I_Y = 50 \text{ }\mu\text{A}$ 로

고정시키고 사인파 입력 v_{in} 의 주파수를 1 kHz로 고정시킨 상태에서 측정된 증폭기의 입·출력 전달 특성, 즉 i_{out} 대 v_{in} 특성을 그림 3에 나타냈다.

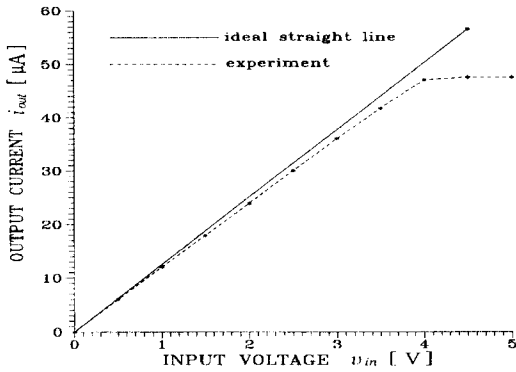


그림 3. 트랜스어드미턴스 증폭기의 전달 특성
Fig. 3. Transfer characteristics of the transadmittance amplifier.

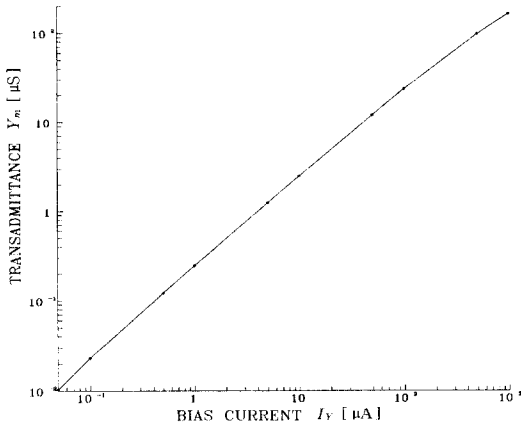


그림 4. 트랜스어드미턴스 대 바이어스 전류 특성
Fig. 4. Transadmittance versus bias current characteristics.

이 그림은, 실험치와 이상적인 직선 사이에 6.4%의 편차가 허용된다면, 입력 선형 범위가 4 V까지 확장된다는 것을 보여준다. 트랜스어드미턴스 대 바이어스 전류 비 사이의 관계를 구하기 위해, $v_{in} = 0.5 \sin(2\pi \cdot 10^3 t)$ 볼트로 고정시키고 I_Y 를 0.05 μA ~1 mA 까지 변화시키면서 트랜스어드미턴스 Y_m 을 측정했다. 그 결과를 도기한 것이 그림 4의 그래프이다. 이 그래프로부터, 트랜스어드미턴스 Y_m 이 0.05 μA ~500 μA 의 I_Y 의 범위내에서 I_Y 에 선형적으로 의존한다는 것

을 알 수 있다. 온도에 대한 출력 전류의 의존성 역시 실험했다. $I_Y = 50 \mu\text{A}$ 일 때, 입력 전압에 대한 온도 의존성을 그림 5에 나타냈다. 이 그림은 25°C일 때의 출력 전류에서 -25°C와 75°C일 때의 출력 전류를 뺀 출력 오프셋 전류들을 도시한 것이다.

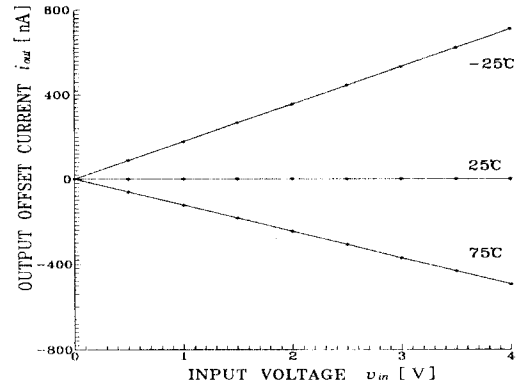


그림 5. 트랜스어드미턴스 증폭기의 온도 특성
Fig. 5. Temperature characteristics of the transadmittance amplifier.

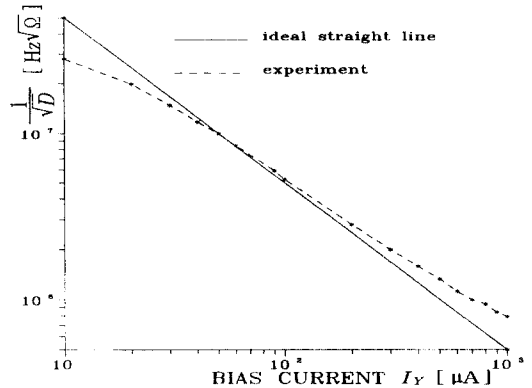


그림 6. FDNR의 I_Y 에 대한 $1/\sqrt{D}$ 의 특성
Fig. 6. $1/\sqrt{D}$ versus I_Y characteristics of the FDNR.

그림 2의 FDNR 회로에서, 미분기의 저항 $R_1 = 2.5 \text{ k}\Omega$ 으로 선택한 다음, TAA₁과 TAA₂의 바이어스 전류 I_X 는 각각 25 μA 로 고정시키고 I_Y 를 각각 10 μA 에서 1 mA까지 동시에 변화시키면서 측정한 $1/\sqrt{D}$ 대 I_Y 의 관계를 그림 6에 나타냈다. 여기서, $1/\sqrt{D}$ 의 값은, 그림 7에 보인 RC-FDNR 2차 저역-통과 여파기를 이용해 D 를 측정하는 다음, 이를 환산하여 구한 것이다. 그림 6으로부터, I_Y 가

40 μA ~ 500 μA 인 범위내에서는, $1/\sqrt{D}$ 가 바이어스 전류 I_Y 에 선형적으로 반비례한다는 것을 알 수 있다.

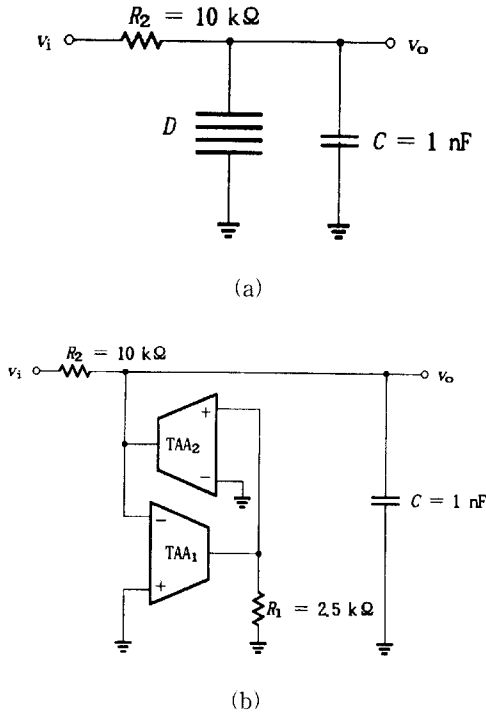


그림 7. (a) RC FDNR 2차 저역-통과 여파기
(b) 트랜스어드미턴스로 실현된 RC FDNR 2차 저역-통과 여파기

Fig. 7. (a) RC FDNR second-order low-pass filter (b) RC-FDNR second-order low-pass filter based on the transadmittance amplifier.

FDNR의 주파수 특성을 고찰하기 위해, 그림 7(b)에 보인 2차 저역-통과 여파기를 저주파에서부터 고주파에 걸쳐 SPICE 시뮬레이션했다. 시뮬레이션 결과, 저주파에서부터 약 100 kHz의 동작 주파수 범위에서는 RC-FDNR 여파기가 수동 RLC 여파기와 거의 일치하는 전달 특성을 보인다는 것을 확인했다. 그림 8은 $I_Y = 50\ \mu\text{A}$, $C_E = 25\ \text{pF}$, $C = 200\ \text{pF}$, $R_1 = 1\ \text{k}\Omega$, 그리고 $R_2 = 350\ \Omega$ 일 때의 RC-FDNR 여파기의 전달 특성을 나타낸 것이다. 트랜지스터들의 기생 용량 때문에 RC-FDNR 여파기의 차단 특성이 수동 여파기의 그것보다 완만해졌다는 것을 알 수 있다. RC-FDNR 여파기의 차단 주파수 f_c 는 2.07 MHz이었고 이 차단 주파수의 온도 안정성은 123.6 ppm/°C이었다.

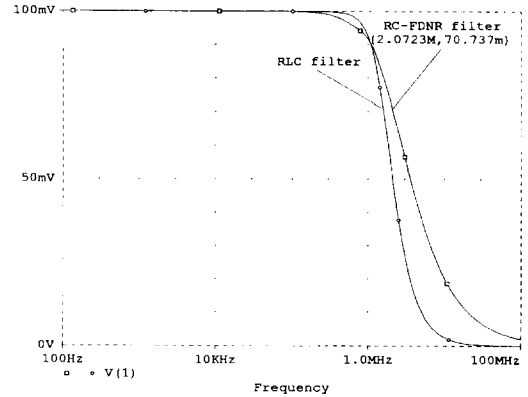


그림 8. RLC 여파기와 RC-FDNR 여파기의 전달 특성
Fig. 8. Transfer characteristics of RLC and RC-FDNR filters.

V. 결론

바이폴라 선형 트랜스어드미턴스 증폭기에 대해 기술했다. 이 증폭기는 우수한 선형성과 온도 안정성을 가질 뿐 아니라, 그것의 트랜스어드미턴스가 전기적으로 제어될 수 있다는 장점을 지닌다. 트랜스어드미턴스 증폭기를 전류-제어 FDNR의 실현에 응용했다. 실현된 FDNR 역시 양호한 선형성과 온도 안정성을 가진다. 따라서, 이를 응용하면, 전류 제어 여파기, 전류-제어 발진기, 그리고 전류-제어 공진기 등의 개발이 가능할 것으로 예상된다.

참고 문헌

- [1] W.-S. Chung, K.-H. Kim, and H.-W. Cha, "A linear operational transconductance amplifier for instrumentation applications," *IEEE Trans. Instrum. Meas.*, vol. IM-41, pp. 413-443, June 1992.
- [2] Z. Wang and W. Guggenbuhl, "A voltage-controllable linear MOS transconductor using bias offset technique," *IEEE J. Solid-State Circuits*, vol. SC-25, pp. 315-317, 1990.
- [3] Toumazou, C., F. J. Lidgley, and D. G. Haigh, eds., *Analogue IC Design: The Current-Mode Approach*, London: Peter Peregrinus Ltd. 1990.

- [4] S.-S. Lee, Rajesh H. Zele, David J. Allstot, and Guojin Liang, "CMOS continuous-time current-mode filters for high-frequency applications" *IEEE Solid-State Circuits*, vol. 28, pp. 323-328, March 1993.
- [5] L. T. Bruton, "Network transfer using the concept of frequency-dependent negative resistance," *IEEE Trans. Circuit Theory*, vol. CT-16, pp. 406-408, August 1969.
- [6] A. B. Williams, *Electronic Filter Design Handbook*, McGraw-Hill, 1981.

 저 자 소 개

鄭元燮(正會員) 第33卷B編第10號 參照

1955年 11月 3日生. 1977年 2月 한양대학교 전자통신공학과 졸업. 1979年 8月 한양대학교 대학원 전자통신공학과 공학석사 학위 취득. 1986年 3月 일본 정강(Shizuoka)대학교 전자과학연구과 공학박사 학위 취득. 1986年 4月 ~ 현재 청주대학교 반도체공학과 교수. 주관심분야는 Bipolar 및 CMOS 애널로그 집적회로 설계, 센서신호 처리 설계 등임.

朴志晚(正會員) 第33卷B編第10號 參照

1967年 9月 28日生. 1989年 2月 청주대학교 반도체공학과 졸업. 1993年 2月 청주대학교 대학원 전자공학과 공학석사 학위 취득. 1994年 3月 ~ 현재 청주대학교 대학원 전자공학과 박사 과정 재학중. 주관심분야는 Bipolar 및 CMOS 애널로그 집적회로 설계, 센서신호 처리 설계 등임.